

## МАССА НЕЙТРИНО ПО $\beta$ -СПЕКТРУ ТРИТИЯ В ВАЛИНЕ (ИТЭФ-84)

С.Д.Борис, А.И.Голутвин, Л.П.Лаптин, В.А.Любимов,  
В.В.Наговицын, Е.Г.Новиков, В.З.Нозик, В.А.Солощенко,  
И.Н.Тихомиров, Е.Ф.Третьяков, Н.Ф.Мясоедов<sup>1)</sup>

Исследован спектр  $\beta$ -распада трития в молекуле валина на усовершенствованном спектрометре ИТЭФ. Существенное внимание уделено анализу аппаратурных функций. Получены оценки массы нейтрино и граничной энергии: масса нейтрино больше 20 эВ, разность масс  $^3\text{H}$  и  $^3\text{He}$ , следующая из граничной энергии спектра, хорошо согласуется с прецезионными данными по масс-спектроскопии на ионно-циклотронном резонансе.

---

<sup>1)</sup> Институт молекулярной генетики АН СССР.

В этой работе приводятся результаты измерений  $\beta$ -спектра трития в молекуле валина, выполненных на усовершенствованном магнито-электростатическом спектрометре ИТЭФ. Спектр сканировался изменением ускоряющего электростатического поля при постоянном фокусирующем магнитном поле. Модификация спектрометра привела к следующим важным преимуществам: 1) отсутствует влияние энергетической эффективности детектора на измеренную форму  $\beta$ -спектра; 2) фиксация энергии фокусируемых электронов на величине 22 кэВ при электростатическом ускорении позволила сильно подавить основную компоненту фона, связанную с загрязнением спектрометра тритием; 3) введением "точечноподобного" источника на слабопроводящей подложке и сокращением щелей детектора оптическое разрешение доведено до оптимальной по фону величины  $\approx 25$  эВ.

Калибровка спектрометра выполнена с помощью 29 конверсионных линий  $^{169}\text{Yb}$  с использованием известных энергий  $\gamma$ -переходов. Мы оцениваем точность калибровки величиной 5 эВ.

Предварительные результаты анализа этой серии измерений ( $\approx 1/3$  статистики, один источник) сообщались на конференции в Брайтоне<sup>1</sup>. Результат данной работы (должен на конференции в Лейпциге<sup>2</sup>) основан на полной статистике, полученной с тремя источниками различной толщины. Относительные толщины источников, характеризуемые вероятностью того что электрон не испытывает взаимодействия с веществом источника (см. величину  $\omega$  в таблице 1), измерены экспериментально.

Таблица 1

Источник	B1	B2	B3	Средние значения
$\omega$	0,333	0,395	0,415	
$\Delta E = 1680$ эВ				
$M_{\nu}^2, \text{эВ}^2$	$1364 \pm 63$ [ 260 ]	$1174,0 \pm 81$ [ 180 ]	$1146,0 \pm 140$ [ 200 ]	$1215 \pm 130$
$E_0, \text{эВ}$	$18585,2 \pm 0,3$ [ 3 ]	$18584,1 \pm 0,3$ [ 2,5 ]	$18583,5 \pm 0,5$ [ 2,7 ]	$18584,2 \pm 1,6$
$\chi^2/N$	317/303	523/509	471/508	
$\Delta E = 330$ эВ				
$M_{\nu}^2, \text{эВ}^2$	$1384,0 \pm 175$ [ 170 ]	$1416,0 \pm 156$ [ 120 ]	$1261,0 \pm 283$ [ 130 ]	$1375 \pm 140$
$E_0, \text{эВ}$	$18585,2 \pm 1,2$ [ 2,4 ]	$18585,5 \pm 0,9$ [ 2,0 ]	$18584,4 \pm 1,5$ [ 2,2 ]	$18585,1 \pm 1,4$
$\chi^2/N$	184/165	266/318	294/316	

Полная функция разрешения (ПФР) является суммой аппаратурного спектра непривзимодействовавших электронов, т.е. оптической функции разрешения (ОФР), и вторичного аппаратурного спектра электронов, изменивших свою энергию при взаимодействии в источнике. Вторичный спектр представим сверткой спектра ионизационных потерь (СИП) и спектра обратного рассеяния (СОР) с ОФР. Эти составляющие ПФР изучались на  $L_1$  и  $M_1$  конверсионных линиях в энергетическом диапазоне 10 – 60 кэВ. Вклад естественной ширины в форму линий был удален решением обратной задачи для уравнения свертки с  $\Gamma(L_1) = 5,2$  эВ и  $\Gamma(M_1) = 14,7$  эВ.

Основное отличие анализа в данной работе от<sup>1</sup> заключается в том, что использованная ранее ОФР была симметричной. Симметризация выполнялась инверсией высокозенергичного склона конверсионной линии. Очевидно, что процедура симметризации ОФР понижает диспер-

сью ОФР и, следовательно, может только снизить оценку  $M_\nu$ . Величина  $\chi^2$  оказалась высокой. В данной работе был выполнен детальный анализ формы ОФР, при котором был определен вклад "shake-off" – эффекта в форму конверсионной линии. Спектр "shake-off" извлечен с помощью  $L_1$  и  $M_1$  линий, измеренных для различных  $\gamma$ -переходов в диапазоне 10–60 кэВ. Анализ основан на предположении, что каждая измеренная линия представима в виде суммы двух компонент: 1) моноэнергетической линии, т.е. ОФР, которая для магнитного спектрометра имеет постоянную форму в шкале относительных импульсов ( $\Delta P/P = \text{const}$ ) ; 2) постоянного в абсолютной энергетической шкале сопровождающего спектра, интерпретируемого как "shake-off" – эффект.

Рис. 1. Полная функция разрешения. Источник В2.

Канал детектора – 2. Пунктиром показан вклад А – ОФР, В – СИП свернутый с ОФР, С – СОР

Рис. 2. График Кюри для экспериментальных данных, полного фита (сплошная кривая) и теоретической кривой (см. текст)

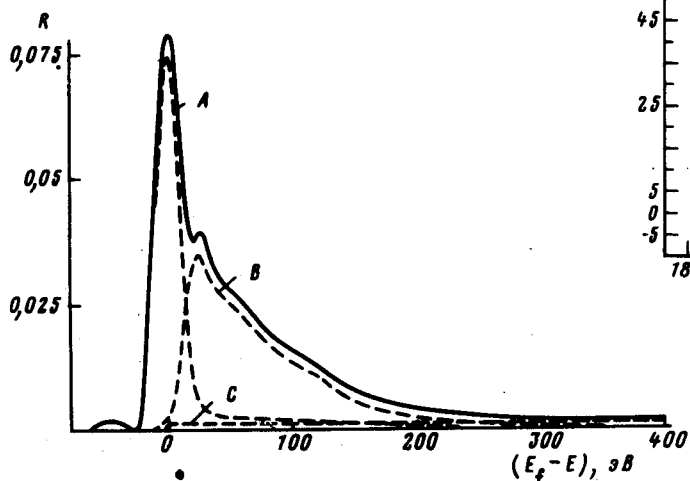


Рис. 1

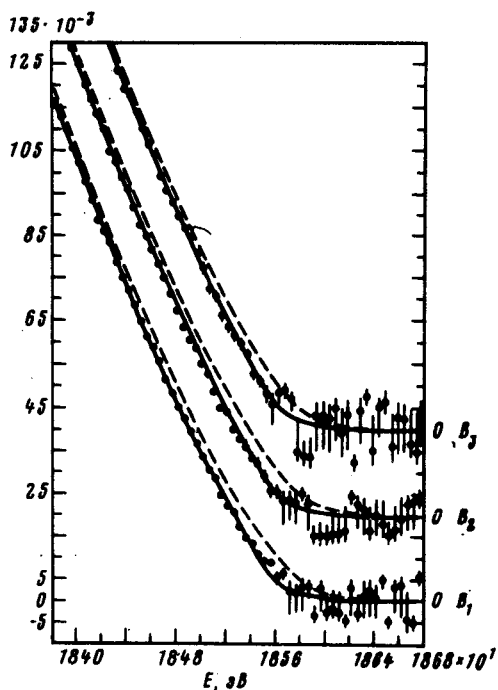


Рис. 2

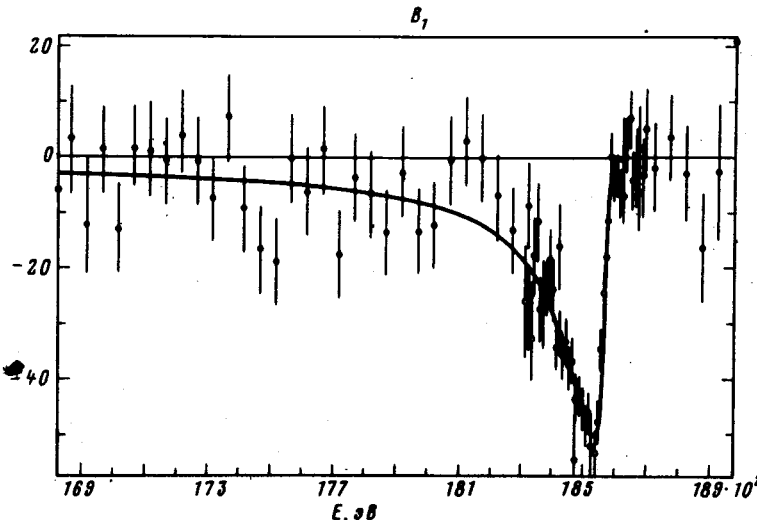


Рис. 3. Разница между экспериментальными данными или полным фитом (сплошная кривая) и теоретической кривой  $M_\nu = 0$ . Источник – В1

В результате анализа четырех линий было получено, что "shake-off" спектр составляет  $\cong 30\%$  от полной интенсивности конверсионной линии и имеет особенности в области 15 и 50 эВ. Ок - ончательная форма ПФР для первичной энергии электронов 18,4 КэВ и энергии фокусировки  $E_f = 22$  КэВ показана на рис. 1. Процедура фитирования экспериментальных данных принципиально не отличалась от использованной в <sup>1</sup>. Полный фит содержал три параметра:  $M_\nu^2$ ,  $E_0$  и  $\alpha$ -коэффициент при поправке  $\alpha \cdot (E_0 - E)^2$  к форме  $\beta$ -спектра. Спектр конечных состояний (СКС) молекулы валина при  $\beta$ -распаде взят из <sup>3</sup>, где авторы, развивая метод расчета возбуждений, учли электронные корреляции. Анализ экспериментальных данных выполнен также для атомарного СКС и одноуровневой модели источника ("ядро").

На рис. 2 в виде графика Кюри показаны экспериментальные данные для трех источников в области близкой к  $E_0$ . Здесь же показаны результаты полного фита и теоретический спектр для  $M_\nu = 0$ , но  $E_0$  и  $\alpha$  из полного фита. Рис. 3 демонстрирует данные и кривую полного фита во всем анализируемом диапазоне. В этом представлении теоретический спектр с  $M_\nu = 0$  ( $E_0$  и  $\alpha$  из полного фита) принят за ось абсцисс.

В табл. 1 представлены фитированные параметры для СКС валина <sup>3</sup>. Здесь показаны величины  $\chi^2$  и число степеней свободы. Отметим, что использование ОФР с остаточной асимметрией (рис. 1) значительно уменьшало  $\chi^2$  по сравнению с <sup>1</sup>. Для проверки гипотезы нулевой массы нейтрино выполнен фит данных с  $M_\nu = 0$  и свободных параметрах  $E_0$  и  $\alpha$ . Для трех источников получены величины 680/304, 751/510 и 550/509 соответственно. Ошибки параметров, помещенные в квадратные скобки, включают флуктуации параметров при вариациях (в допустимых пределах) всех функций, входящих в модель  $\beta$ -спектра: параметров ПФР, вариации  $\alpha$ -члена и т.п. Для средних величин приведены полные ошибки.

Из приведенных в таблице параметров независимых фитов для двух энергетических интервалов видно, что систематический дрейф параметров отсутствует. Мы подчеркиваем это важное обстоятельство, так как в коротком интервале эффект  $\alpha$ -члена мал и вместе с тем сокращается влияние неопределенности в длинных хвостах ПФР, что могло бы сильно влиять на ее дисперсию.

Таблица 2

СКС	Валин <sup>3</sup>	Атом	"Ядро"
$M_\nu^2$ , эВ <sup>2</sup>	$1215,0 \pm 130$	$954,0 \pm 95$	$190,0 \pm 80$
$M_\nu$ , эВ	$34,8 \pm 1,9$	$30,9^{+1,5}_{-1,6}$	$13,8^{+2,5}_{-3,5}$
$E_0$ , эВ	$18584,2 \pm 1,6$	$18580 \pm 1,3$	$18567,4 \pm 1,0$
$\Delta M(^3\text{H} - ^3\text{He})$	$18603,6 \pm 6,0$	$18608,1 \pm 6,0$	$18586,8 \pm 6,0$

В табл. 2 представлены усредненные по всей статистике результаты для разных СКС. Разность масс нейтральных атомов <sup>3</sup>H и <sup>3</sup>He рассчитана по значениям  $E_0$  и энергетическим параметрам электронных оболочек <sup>3</sup>. Полученное здесь значение  $\Delta M(^3\text{H} - ^3\text{He})$  существенно отличается от значения этой величины  $18573 \pm 7$  эВ из анализа масс-спектроскопических данных <sup>4</sup>. Недавно группой Липмаа <sup>5</sup> выполнены прецизионные измерения разности масс данного дублета на спектрометре использующем ионно-циклонный резонанс с разрешением в 150 раз превышающим разрешение <sup>4</sup>. Результат <sup>5</sup>  $\Delta M = 18599 \pm 2$  эВ прекрасно согласуется с нашим значением.

Консервативная оценка массы нейтрино  $M_\nu > 9$  эВ (90%-ный уровень достоверности) может быть получена для "ядерной" модели. Однако мы не считаем эту модель удовлетворительной с физической точки зрения. Реалистической оценкой массы нейтрино, следующей из данного анализа является

$$20 < M_\nu < 45 \text{ эВ.}$$

Мы благодарны М.Б. Волошину за полезные обсуждения "shake-off" эффекта.

## Литература

1. Boris S. et al. Proc. of Int. Conf. on HEP, Brighton 1983, p. 386.
2. Boris S. et al. Proc. of Int. Conf. on HEP, Leipzig 1984, v. 1, p. 259.
3. Каплан И. и др. ДАН СССР, 1984, 279, 1110.
4. Smith L.G. et al. Phys. Lett., 1981, 102B, 114.
5. Липман Э.Т., Пиквер Р.Й., Суурмаа Э.Р. и др. Письма ЖЭТФ, 1984, 39, 529; Lipman E. et al. Phys. Rev. Lett., 1985, 54, 285.

Институт теоретической  
и экспериментальной физики

Поступила в редакцию  
23 мая 1985 г.

---